



International Conference on Medical Science, Medicine and Public Health

Hosted online from Jakarta, Indonesia

Website: econfseries.com 30th October, 2025

МАТЕМАТИЧЕСКОЕ ИССЛЕДОВАНИЕ ВЕТРОВОЙ ТУРБИНЫ

¹Музаффаров С. А.,

²Маратов Х. У.,

 3 Курбонова Г.Ф.

¹Институт механики и сейсмостойкости сооружений им. М.Т. Уразбаева АН РУз, Ташкент, Узбекистан

²Бухарский государственный технический университет, Бухара, Узбекистан

Аннотация:

В статье приведены результаты моделирования течения воздуха при турбулентном режиме обтекания ветрового устройства в виде профилей и полей давления и скорости. Моделирование проводилось с помощью программного комплекса ANSYS FLUENT. Полученные профиль осевой скорости, коэффициент давления вокруг лопасти и мгновенного коэффициента мощности одной лопасти при использовании модели переходной SST хорошо согласуются с экспериментальными данными

Ключевые слова: ветряная турбина с вертикальной осью (VAWT); обтекание воздушным потоком; уравнения Навье-Стокса; модели турбулентности; численное моделирование; вычислительный и стендовый эксперимент; поле субстанций; коэффициенты давления и мощности.

ВВЕДЕНИЕ

Последние годы в Республике Узбекистан принят комплекс мер, направленные на дальнейшее увеличение эффективности использования электрической энергии в отраслях экономики и в быту, широкому внедрению экономично использующих электроэнергии технологий и развитию возобновляемых источников энергии.

За последние 50 лет 85% доля выработки электроэнергии в республике соответствует природному газу. Выбрасываемые в результате сжигания

³Ташкентский университет информационных технологий имени Мухаммада ал-Хоразмий, Ташкент, Узбекистан





International Conference on Medical Science, Medicine and Public Health

Hosted online from Jakarta, Indonesia

Website: econfseries.com 30th October, 2025

углеводородов углекислого газа и оксиды углерода приводят к загрязнению атмосферы, уменьшению ее прозрачности и увеличению мутности. Это в свою очередь, усиливается «парниковый эффект», который в течение последних сто лет увеличил среднюю температуру атмосферы Земли на 1.5-2 градусов. Такое глобальное изменение климата приводит к таянию ледников северного и южного полюсов Земли, частому образованию аномальных климатических явлений. В конечном итоге это отражается на глобальное экологическое состояние планеты и развитию цивилизации. В связи с этим на сегодняшний день становится актуальным широкое использование альтернативных источников электроэнергии.

Большинство ведущих компаний мира используют продукты линейки ANSYS. В комплексах представлен наиболее широкий спектр современных физических моделей, а также существует возможность проводить мультидисциплинарные расчеты в рамках интегрирующей среды ANSYS Workbench. Благодаря дружественному пользовательскому интерфейсу и устойчивым решателям продукты ANSYS CFD могут быть освоены в короткие сроки. Интеграция ANSYS CFD в среду ANSYS Workbench, а также единый постпроцессор ANSYS CFD-Post в совокупности создают наиболее полный комплекс для моделирования доступный сообществу инженеров. ANSYS CFD полностью интегрирован в среду ANSYS Workbench, являющуюся каркасом инженерного моделирования, в нее интегрированы все инструменты и программные комплексы ANSYS. Эта адаптивная архитектура позволяет пользователям с легкостью создавать модели, начиная от задач гидродинамики до комплексного мультифизичного взаимодействия операций «перетаскивания» (drag-and-drop). путем простых систем Пользователи могут с легкостью оценить параметры изделия в нескольких расчетных точках или сравнить ряд альтернативных концепций [10].

Постпроцессор ANSYS CFD-Post может использоваться для одновременного сравнения результатов нескольких расчетов, а также для создания высококачественных анимаций, иллюстраций.

Остановимся на те моменты ANSYS Fluent, которые будут задействованы в наших расчетах.





International Conference on Medical Science, Medicine and Public Health

Hosted online from Jakarta, Indonesia

Website: econfseries.com 30th October, 2025

Проведение высококачественного CFD моделирования требует соответствующей технологии создания расчетной сетки. Программный модуль ANSYS Meshing содержит множество технологий в единой среде, позволяющих пользователям выбрать наилучший метод для каждого элемента или узла геометрической модели. Также доступен продвинутый сеточный генератор ANSYS ICEM CFD, который содержит множество технологий редактирования сеток, а также возможность создания блочно структурированной гексаэдральной расчетной сетки [9-10].

Решатели ANSYS CFD работают с неструктурированными сетками, т. е. сетка может состоять из элементов различных форм. Большие расчетные сетки содержащие могут автоматически дробиться на части для расчета на компьютерном кластере.

Динамические сетки в ANSYS CFD позволяют моделировать произвольное движение отдельных частей изделий – при помощи этой технологии можно моделировать двигатели внутреннего сгорания, клапаны, сброс боеприпасов, старт ракеты, динамику судна на волнах. По необходимости, в процессе моделирования могут одновременно использоваться различные методы перестройки сетки. Динамические сетки совместимы с большинством моделей ANSYS CFD, включая модели горения, модели разрушения струи, многофазные модели, в том числе расчет свободной поверхности и течения сжимаемой жидкости. Кроме того, в ANSYS CFD доступны модели скользящих сеток и множественных вращающихся систем координат (MFR), которые используются для проектирования смесительных баков, насосов и турбомашин [10].

Полная система уравнений Навье — Стокса с двумя одним (модель Спаларта -Алмарса) или нелинейными диффузионными уравнениями, учитывающих флуктуации средней скорости турбулентных потоков, представляет собой семейство моделей $k-\varepsilon$ и $k-\omega$, где k- массовая плотность турбулентной энергии; ε — скорость ее диссипации; ω — скорость диссипации энергии в единице объема и времени. Особенностью данной системы является каскадность ее решения, что наиболее удобно для применения в программных пакетах для моделирования процессов в цилиндрических





International Conference on Medical Science, Medicine and Public Health

Hosted online from Jakarta, Indonesia

Website: econfseries.com 30th October, 2025

координатах.

В ANSYS CFD присутствует наиболее широкий спектр разнообразных моделей турбулентности, включающий опробованные временем k-ε, k-ω и модель Рейнольдсовых напряжений (RSM) для сильно закрученных или анизотропных течений. Благодаря постоянному увеличению производительности компьютеров и уменьшению их стоимости, модели крупных вихрей (LES) и более экономичные модели не присоединенного вихря (DES) стали чрезвычайно популярны при решении промышленных задач. Новые инновационные модели позволяющие рассчитывать ламинарнотурбулентный переход и современная модель (SAS), автоматически определяющая масштаб турбулентных вихрей, обычно применяются в когда точности стационарных моделей турбулентности недостаточно. Различные пристеночные функции и метод enhanced wall treatment позволяютмаксимально точно описать потоки, ограниченные стенками [10].

В процессе решения задачи для описания турбулентности могут быть использованы пять моделей турбулентности.

Модель модифицированная $k-\varepsilon$. В отличие от известных работ, здесь для описания турбулентного обмена предлагается использовать модифицированную $k-\varepsilon$ модель, что способствует более адекватному описанию тепломассообменного процесса:

$$\begin{split} & \left[\frac{\partial}{\partial t} (\rho k) + \frac{\partial}{\partial x_{j}} (\rho k u_{j}) = \frac{\partial}{\partial x_{j}} \left[\left(\mu + \frac{\mu_{t}}{\sigma_{k}} \right) \frac{\partial k}{\partial x_{j}} \right] + G_{k} + G_{b} - \rho \varepsilon - 2\rho \varepsilon M_{t}^{2} + S_{k}, \\ & \left[\frac{\partial}{\partial t} (\rho \varepsilon) + \frac{\partial}{\partial x_{j}} (\rho \varepsilon u_{j}) = \frac{\partial}{\partial x_{j}} \left[\left(\mu + \frac{\mu_{t}}{\sigma_{\varepsilon}} \right) \frac{\partial \varepsilon}{\partial x_{j}} \right] + \rho C_{1} S \varepsilon - \rho C_{2} \frac{\varepsilon^{2}}{k + \sqrt{\nu \varepsilon}} + C_{1\varepsilon} \frac{\varepsilon}{k} C_{3\varepsilon} G_{b} + S_{\varepsilon}. \end{split}$$

Здесь использованы обозначения

$$C_{1} = \max \left[0.43, \frac{\eta}{\eta + 5}\right], \quad \eta = S\frac{k}{\varepsilon}, \quad S = \sqrt{2S_{ij}S_{ij}}, \quad \mu_{t} = \rho C_{\mu}\frac{k^{2}}{\varepsilon}, \quad C_{\mu} = \frac{1}{A_{0} + A_{S}\frac{kU^{*}}{\varepsilon}}, \quad U^{*} \equiv \sqrt{S_{ij}S_{ij} + \tilde{\Omega}_{ij}\tilde{\Omega}_{ij}}$$

$$, \quad \Omega_{ij} = \overline{\Omega_{ij}} - 2\varepsilon_{ijk}\omega_k \,, \quad A_S = \sqrt{6}\cos\phi \,, \quad \phi = \frac{1}{3}\cos^{-1}\left(\sqrt{6}W\right), \quad W = \frac{S_{ij}S_{jk}S_{ki}}{\tilde{S}^3} \,, \quad \tilde{S} = \sqrt{S_{ij}S_{ij}} \,,$$





International Conference on Medical Science, Medicine and Public Health

Hosted online from Jakarta, Indonesia

Website: econfseries.com

30th October, 2025

$$S_{ij} = \frac{1}{2} \left(\frac{\partial u_j}{\partial x_i} + \frac{\partial u_i}{\partial x_j} \right), \quad G_k = -\rho \overline{u_i' u_j'} \frac{\partial u_j}{\partial u_i}, \quad S = \sqrt{2S_{ij} S_{ij}}, \quad G_b = \beta g_i \frac{\mu_t \partial T}{\Pr_t \partial x_i}, \quad \Pr_t = 1/a_t \quad ,$$

$$a_0 = 1/\Pr_t = k/\mu c_p, \quad \beta = -\frac{1}{\rho} \left(\frac{\partial \rho}{\partial T} \right)_p, \quad G_b = -g_i \frac{\mu_t}{\rho \Pr_t} \frac{\partial \rho}{\partial x_i}, \quad M_t = \sqrt{\frac{k}{a^2}}, \quad a = \sqrt{\gamma RT}.$$

Эмпирические константы $k-\varepsilon$ модели принимают стандартные значения: $C_{1\varepsilon}=1.44,\,C_2=1.9$, $\sigma_k=1.0$, $\sigma_{\varepsilon}=1.2$, $A_0=4.04$.

Модель Спаларта-Аллмараса. Эта модель относится к классу однопараметрических линейных моделей турбулентности. Здесь появляется только одно дополнительное дифференциальное уравнение для расчета кинематического коэффициента вихревой вязкости. Это низкорейнольдсовая модель турбулентности, которая описывает всю область течения, дается следующим уравнением:

$$\frac{\partial}{\partial t} (\rho \tilde{v}) + \frac{\partial}{\partial x_{i}} (\rho \tilde{v} u_{i}) = G_{v} + \frac{1}{\sigma_{\tilde{v}}} \left[\frac{\partial}{\partial x_{i}} \left\{ (\mu + \rho \tilde{v}) \frac{\partial \tilde{v}}{\partial x_{i}} \right\} + C_{b2\rho} \left(\frac{\partial \tilde{v}}{\partial x_{i}} \right)^{2} \right] - C_{w1\rho} f_{w} \left(\frac{\tilde{v}}{d} \right)^{2} + S_{\tilde{v}}.$$

Турбулентная вихревая вязкость вычисляется по формуле: $\mu_t = \rho \tilde{v} f_{v1}$, дополнительные определения даются следующими зависимостями:

$$f_{v1} = \frac{\chi^3}{\chi^3 + C_{v1}^3} \,, \qquad \chi = \frac{\tilde{v}}{v} \qquad \tilde{S} \equiv S + \frac{v}{\kappa^2 d^2} \, f_{v2} \,, \qquad f_{v2} = 1 - \frac{\chi}{1 + \chi f_{v1}} \,, \qquad S \equiv \sqrt{2\Omega_{ij}\Omega_{ij}} \,,$$

$$\Omega_{ij} = \frac{1}{2} \left(\frac{\partial u_i}{\partial x_j} - \frac{\partial u_j}{\partial x_i} \right), \quad S_{ij} = \frac{1}{2} \left(\frac{\partial u_j}{\partial x_i} + \frac{\partial u_i}{\partial x_j} \right), \quad f_w = g \left[\frac{1 + C_{w3}^6}{g^6 + C_{w3}^6} \right]^{1/6}, \quad r = \frac{\tilde{v}}{\tilde{S}\kappa^2 d^2}, \quad a$$

константы замыкания для модели: $C_{prod} = 2.0$, $C_{b1} = 0.1355$, $C_{b2} = 0.622$,

$$\sigma_{\tilde{v}} = \frac{2}{3}$$
, $C_{v1} = 7.1$, $C_{w1} = \frac{C_{b1}}{\kappa^2} + \frac{(1 + C_{b2})}{\sigma_{\tilde{v}}}$, $C_{w2} = 0.3$ $C_{w3} = 2.0$, $\kappa = 0.4187$.

Стандартная модель $k-\varepsilon$.





International Conference on Medical Science, Medicine and Public Health

Hosted online from Jakarta, Indonesia

Website: econfseries.com 30th October, 2025

$$\begin{cases} \frac{\partial}{\partial t}(\rho k) + \frac{\partial}{\partial x_{i}}(\rho k u_{i}) = \frac{\partial}{\partial x_{j}} \left[\left(\mu + \frac{\mu_{t}}{\sigma_{k}} \right) \frac{\partial k}{\partial x_{j}} \right] + G_{k} + G_{b} - \rho \varepsilon - Y_{M} + S_{k}, \\ \frac{\partial}{\partial t}(\rho \varepsilon) + \frac{\partial}{\partial x_{i}}(\rho \varepsilon u_{i}) = \frac{\partial}{\partial x_{j}} \left[\left(\mu + \frac{\mu_{t}}{\sigma_{\varepsilon}} \right) \frac{\partial \varepsilon}{\partial x_{j}} \right] + \\ + C_{1\varepsilon} \frac{\varepsilon}{k} \left(G_{k} + C_{3\varepsilon} G_{b} \right) - C_{2\varepsilon\rho} \frac{\varepsilon^{2}}{k} + S_{\varepsilon}. \end{cases}$$

Турбулентная вихревая вязкость вычисляется по формуле: $\mu_t = \rho C_\mu \frac{k^2}{\varepsilon}$, константы замыкания для стандартной $k-\varepsilon$ модели: $C_{1\varepsilon}=1.44$, $C_{2\varepsilon}=1.92$, $C_\mu=0.09$, $\sigma_k=1.0$, $\sigma_\varepsilon=1.3$.

Модель RNG $k - \varepsilon$ [3].

$$\begin{cases} \frac{\partial}{\partial t}(\rho k) + \frac{\partial}{\partial x_{i}}(\rho k u_{i}) = \frac{\partial}{\partial x_{j}}\left(\alpha_{k}\mu_{eff}\frac{\partial k}{\partial x_{j}}\right) + G_{k} + G_{b} - \rho\varepsilon - Y_{M} + S_{k}, \\ \frac{\partial}{\partial t}(\rho\varepsilon) + \frac{\partial}{\partial x_{i}}(\rho\varepsilon u_{i}) = \frac{\partial}{\partial x_{j}}\left(\alpha_{\varepsilon}\mu_{eff}\frac{\partial\varepsilon}{\partial x_{j}}\right) + \\ + C_{1\varepsilon}\frac{\varepsilon}{k}(G_{k} + C_{3\varepsilon}G_{b}) - C_{2\varepsilon\rho}\frac{\varepsilon^{2}}{k} - R_{\varepsilon} + S_{\varepsilon}. \end{cases}$$

Турбулентная вихревая вязкость вычисляется по формуле: $\mu_t = \rho C_\mu \frac{k^2}{\varepsilon}$, константы замыкания для RNG $k-\varepsilon$ модели: $C_\mu = 0.0845$, $R_\varepsilon = \frac{C_\mu \rho \eta^3 \left(1-\eta/\eta_0\right)}{1+\beta \eta^3} \frac{\varepsilon^2}{k}$, $\eta \equiv Sk/\varepsilon$, $\eta_0 = 4.38$, $\beta = 0.012$, $\eta \approx 3.0$, $C_{2\varepsilon}^* \approx 2.0$, $C_{1\varepsilon} = 1.42$, $C_{2\varepsilon} = 1.68$.





International Conference on Medical Science, Medicine and Public Health

Hosted online from Jakarta, Indonesia

Website: econfseries.com 30th October, 2025

Модель $k-\omega$ это модель - иисторически самая первая высокорейнольдсовская модель с двумя дифференциальными уравнениями [3]:

$$\frac{\partial}{\partial t}(\rho k) + \frac{\partial}{\partial x_{i}}(\rho k u_{i}) = \frac{\partial}{\partial x_{j}} \left[\Gamma_{k} \frac{\partial k}{\partial x_{j}} \right] + G_{k} - \rho \beta^{*} f_{\beta^{*}} k \omega + S_{k},
\frac{\partial}{\partial t}(\rho \omega) + \frac{\partial}{\partial x_{i}}(\rho \omega u_{i}) = \frac{\partial}{\partial x_{j}} \left[\Gamma_{\omega} \frac{\partial \omega}{\partial x_{j}} \right] + G_{\omega} - \rho \beta f_{\beta} \omega^{2} + S_{\omega}.$$

Не содержит членов, отражающих влияние молекулярной вязкости на турбулентность. Сейчас применяется редко.

Турбулентная вихревая вязкость вычисляется по формуле: $\mu_t = \alpha^* \frac{\rho k}{\omega}$,

модельные константы определяются как функция $\Gamma_k = \mu + \frac{\mu_t}{\sigma_k}$, $\Gamma_\omega = \mu + \frac{\mu_t}{\sigma_\omega}$,

$$\alpha^* = \alpha_{\infty}^* \left(\frac{\alpha_0^* + \operatorname{Re}_t / R_k}{1 + \operatorname{Re}_t / R_k} \right), \qquad \operatorname{Re}_t = \frac{\rho k}{\mu \omega}, \qquad G_k = -\rho \overline{u_i' u_j'} \frac{\partial u_j}{\partial x_i}, \qquad \Omega_{ij} = \frac{1}{2} \left(\frac{\partial u_i}{\partial x_j} - \frac{\partial u_j}{\partial x_i} \right),$$

$$G_{\omega} = \alpha \frac{\omega}{k} G_{k}, \quad \alpha = \frac{\alpha_{\infty}}{\alpha^{*}} \left(\frac{\alpha_{0} + \operatorname{Re}_{t} / R_{\omega}}{1 + \operatorname{Re}_{t} / R_{\omega}} \right), \quad \chi_{k} \equiv \frac{1}{\omega^{3}} \frac{\partial k}{\partial x_{i}} \frac{\partial \omega}{\partial x_{i}}, \quad \beta^{*} = \beta_{i}^{*} \left[1 + \zeta^{*} F(M_{t}) \right],$$

константы замыкания для $k-\omega$ модели: $\alpha_0^* = \frac{\beta_i}{3}$, $R_k = 6$, $\beta_i = 0.072$,

$$\alpha^* = \alpha_{\infty}^* = 1$$
, $R_{\omega} = 2.95$, $\alpha = \alpha_{\infty} = 1$, $\beta_i^* = \beta_{\infty}^* \left(\frac{4/15 + \left(\operatorname{Re}_t / R_{\beta} \right)^4}{1 + \left(\operatorname{Re}_t / R_{\beta} \right)^4} \right)$, $\zeta^* = 1.5$,

$$R_{\beta} = 8, \; \beta_{\infty}^{*} = 0.09, \; \chi_{\omega} = \left| \frac{\Omega_{ij} \Omega_{ij} S_{ij}}{\left(\beta_{\infty}^{*} \omega\right)^{3}} \right|, \; \beta = \beta_{i} \left[1 - \frac{\beta_{i}^{*}}{\beta_{i}} \zeta^{*} F(M_{t}) \right], \; M_{t}^{2} \equiv \frac{2k}{a^{2}}, \; M_{t0} = 0.25$$

$$, \ a = \sqrt{\gamma RT}, \ \alpha_{\infty}^* = 1, \ \alpha_{\infty} = 0.52, \ \alpha_{0} = \frac{1}{9}, \ \beta_{\infty}^* = 0.09, \ \beta_{i} = 0.072, \ R_{\beta} = 8, \ R_{k} = 6,$$

 $R_{\omega} = 2.95, \ \zeta^* = 1.5, \ M_{t0} = 0.25, \ \sigma_k = 2.0, \ \sigma_{\omega} = 2.0.$

Комплекс ANSYS CFD на протяжении многих лет является лидером





International Conference on Medical Science, Medicine and Public Health

Hosted online from Jakarta, Indonesia

Website: econfseries.com 30th October, 2025

среди программ занимающихся CFD моделированием вращающихся машин. Он является лидером в области, где требования к точности, скорости и устойчивости расчета чрезвычайно высоки. ANSYS CFD комбинирует в себе полный набор моделей, возможность сквозного расчета стационарных и вращающихся компонентов турбомашин, а также специализированные надстройки для удобства подготовки и анализа задач при машиностроении. Все это делает комплекс наиболее полным и отвечающим требованиям инженеров расчетчиков. В семействе комплексов ANSYS присутствуют модули ANSYS BladeModeler и ANSYS TurboGrid для быстрого и удобного создания геометрической модели лопаточного колеса и построения высококачественной гексаэдральной расчетной сетки [10].

Вычислительный эксперимент в программной среде ANSYS

В работе рассматривается вариант задачи моделирования обтекания разработанной ветроустановки.

Построение CAD модели рис. 1.1 выполнялось в среде SolidWorks, где были заданы основные геометрические размеры. Так как задача сводится к моделированию плоской задачи, то был выбран 2D режим проектирования.

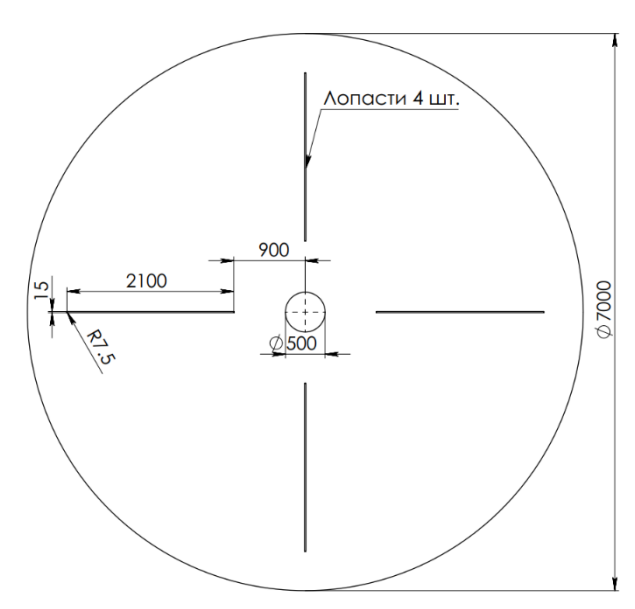


Рисунок 1.1. Геометрия ветрогенератора 2D (вид сверху)





International Conference on Medical Science, Medicine and Public Health

Hosted online from Jakarta, Indonesia

Website: econfseries.com 30th October, 2025

Расчетная сетка

Далее CAD модель была экспортирована в программу Cadence Pointwise для создания гибридной сетки конечных объемов (рисунке 1.2). Был выбран тип O-grid топологии для задания домена потока CFD. Входное граничное условие скорости было задано в I первой четверти круглого домена и в остальных частях условия выходного атмосферного давления. Также непосредственно у стенок лопастей были разрешены слои ячеек для точного моделирования турбулентного вязкостного слоя, где Y+<4.

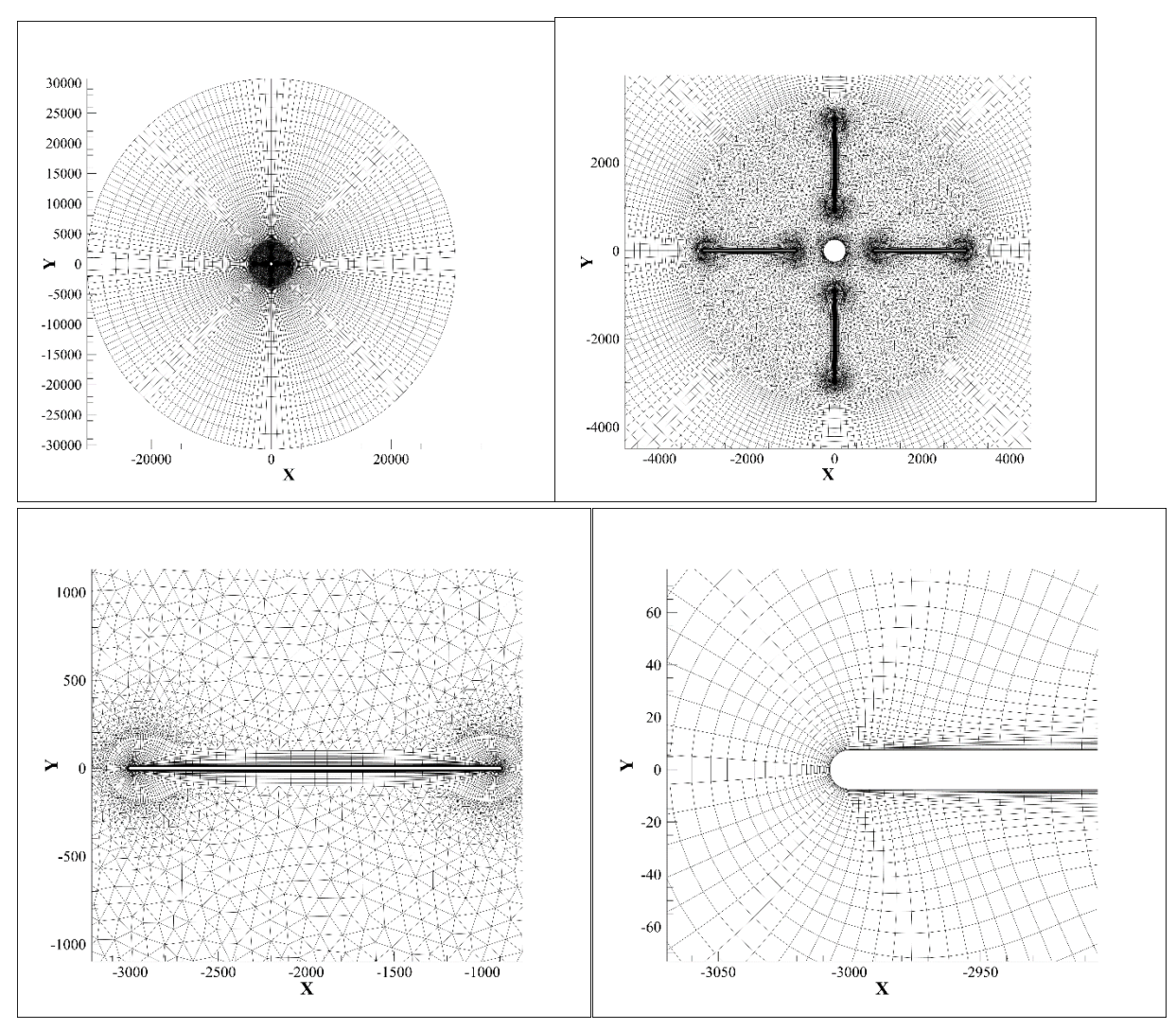


Рисунок 1.2. Неструктуированная расчетная сетка конечных объемов.





International Conference on Medical Science, Medicine and Public Health

Hosted online from Jakarta, Indonesia

Website: econfseries.com 30th October, 2025

Ansys Fluent — это программное обеспечение общего назначения для вычислительной гидродинамики (CFD), используемое для моделирования потока жидкости, тепло- и массопереноса, химических реакций и многого другого. Fluent предлагает современный удобный интерфейс, который оптимизирует процесс CFD от предварительной до последующей обработки в рамках рабочего процесса в одном окне.

Основное преимущество данной программы в том, что Fluent позволяет использовать технологию Dynamic Mesh для задач с динамической сеткой. Динамическая модель сетки позволяет перемещать границы зоны ячеек относительно других границ зоны и соответствующим образом настроить сетку. Движение границ может быть жестким, например поршни, движущиеся внутри цилиндра двигателя или закрылок, отклоняющийся на крыле самолета, или деформирующийся, например, упругая стенка воздушного шара во время надувания или гибкая стенка артерии, реагирующая на импульс давления от сердца. В любом случае узлы, которые определить, что ячейки в домене должны обновляться в зависимости от времени, и, следовательно, динамическая сетка решения по своей природе нестационарны.

Настройки солвера и постпроцессинг

Тип — нестационарный несжимаемый поток в 2D постановке (см. рис.1.3 а). Масса установки 68 кг, момент инерции по оси Z 85 кг·м² (см. рис.4.5б). Входная скорость — V = 5 M/c.

Для описания турбулентности в первом варианте была выбрана двухпараметрическая низкорейнольдсовая модель Ментера $k-\omega$ SST (см. рис. 1.3 в). Схема для связки давление-скорость была выбрана Coupled, которая обеспечивает лучшей сходимости по времени. Пространственная дискретизация – второго порядка для всех величин. Шаг по времени

Результаты моделирования вращения лопастей ветрогенератора показали скорость в 20-25 об/мин при скорости ветра в 5 м/с (см. рисунке 1.4). Также проведен расчета для случая 8 м/с (см. рисунке 1.5).





International Conference on Medical Science, Medicine and Public Health

Hosted online from Jakarta, Indonesia

Website: econfseries.com 30th October, 2025

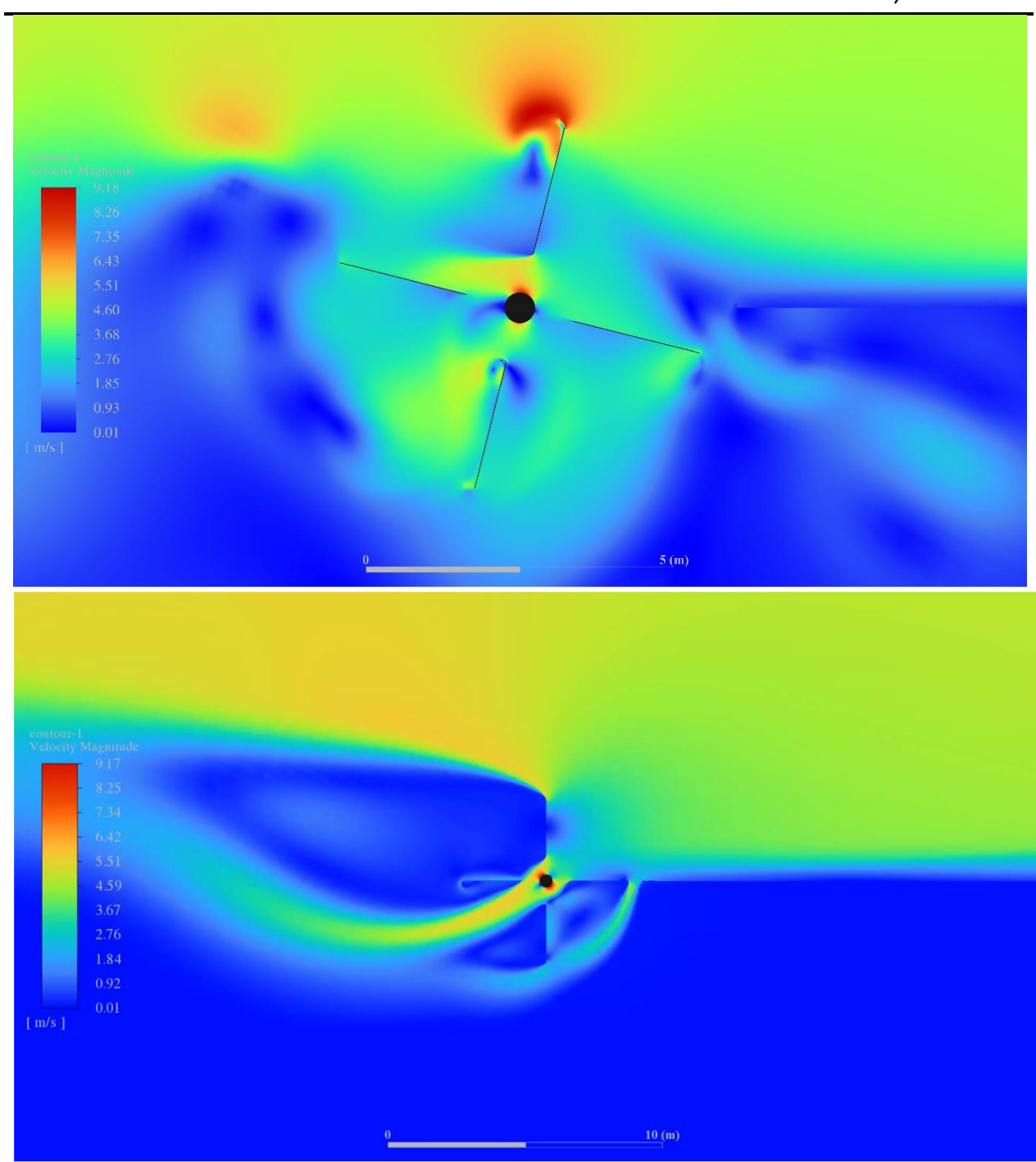


Рисунок 1.3. Контур скорости вращения V=5 м/с. К-ω модель





International Conference on Medical Science, Medicine and Public Health

Hosted online from Jakarta, Indonesia

Website: econfseries.com 30th October, 2025

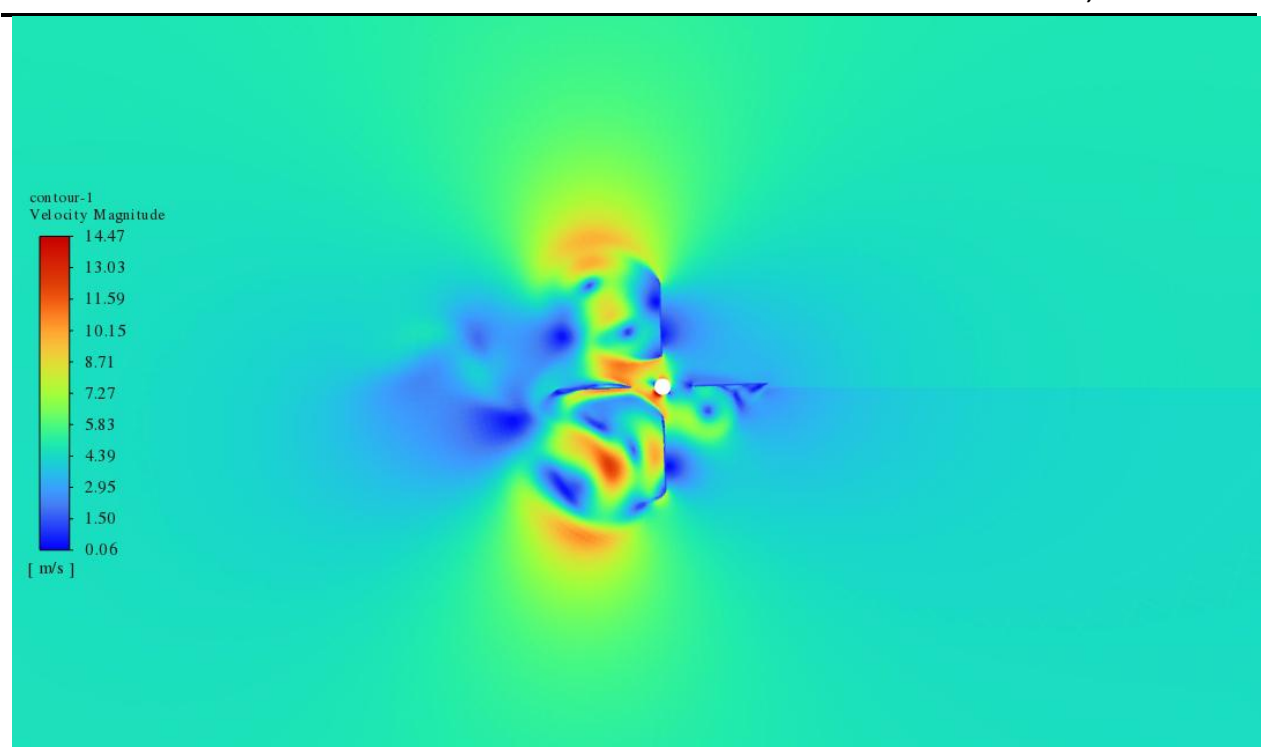


Рисунок 1.4. Контур скорости вращения V=8 м/с. К- ω модель Также проведены расчеты с привлечением $k-\varepsilon$ модели турбулентности (рисунке 1.5) и другие модели турбулентности.

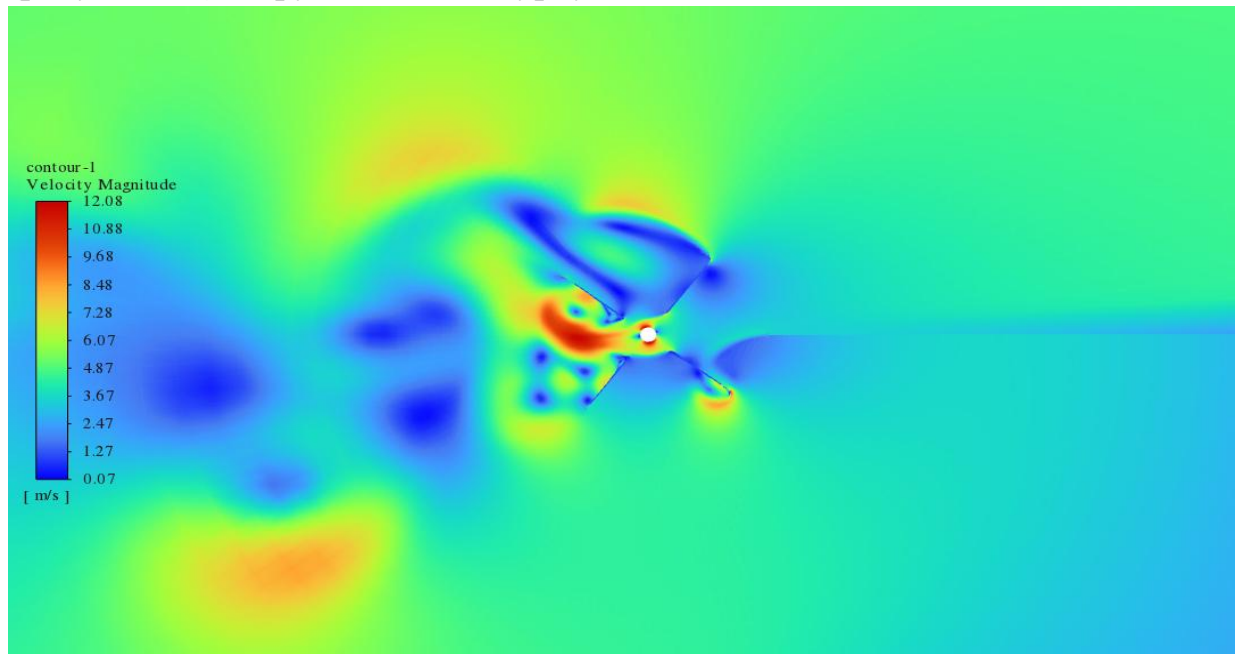


Рисунок 1.5. Контур скорости вращения V=5 м/с. $k-\varepsilon$ модель





International Conference on Medical Science, Medicine and Public Health

Hosted online from Jakarta, Indonesia

Website: econfseries.com 30th October, 2025

Сосгласно предварительным экспериментальным результатам построена кривая мощности установки в зависимости от скорости ветра (рисунке 1.6).

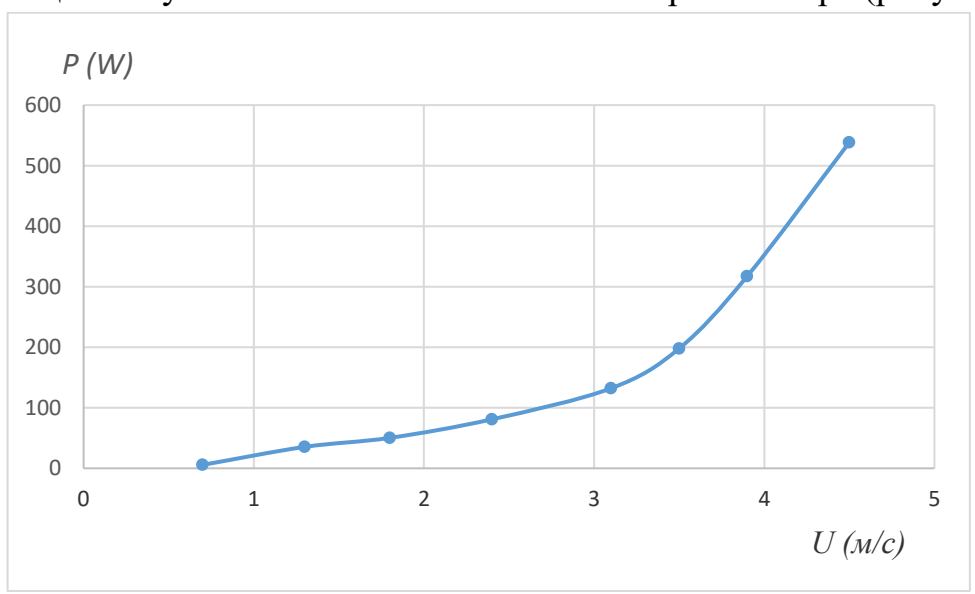


Рисунок 1.6. Кривая мощности

Получены многочисленные результаты по аэродинамике ВТВО, которые следует в дальнейшем обработать методами статистики и анализировать.

Заключение

Теоретическими расчетами в среде ANSYS установлено, что при расчете аэродинамики предложенного BTBO можно использовать $k-\omega$ и $k-\varepsilon$ модели турбулентности, которые более адекватно описывают процесс обтекания вращающегося устройства.

Получены первичные экспериментальные результаты, показывающие, что при скорости ветра выше 4 м/с разработанное устройство может обеспечить 0.5 кВт энергии.

Результаты по аэродинамике BTBO, которые не включены в настоящий отчет, необходимо в дальнейшем обработать методами статистики и анализировать.





International Conference on Medical Science, Medicine and Public Health

Hosted online from Jakarta, Indonesia

Website: econfseries.com 30th October, 2025

СПИСОК ИСПОЛЬЗОВАННЫХ ИСТОЧНИКОВ

- 1. Тоиров О.З., Алимходжаев К.Т., Алимходжаев Ш.К. Қайта тикланувчи энергия манбалари. Ўзбекистон шароитида ишлаб чиқариш ва ишлатиш истиқболлари.— Т.: «Fan va texnologiya», 2019. 212 б.
- 2. Раджабов А., Вахидов А.Х. Мутахассисликка кириш: Олий ўкув юртлари учун дарслик. Тошкент, 2016. 275 б.
- 3. Капля Е.В. Математическая модель переходных процессов поворотно–лопастной ветроэнергетической установки // Матем. моделирование, 2013, том 25, №12. С. 33–43.
- 4. Использование энергии ветра в СССР // Бурят-Монгольская правда. №109 (782) 18 мая 1976 года. С. 7.
- 5. Соловьёв Александр, Дегтярёв Кирилл. Ветреная энергетика // Наука и жизнь. 2013. № 7. С. 42.
- 6. Обухов С.Г. Системы генерирования электрической энергии с использованием возобновляемых энергоресурсов: Учебное пособие. Изд-во Томского государственного университета, 2008. 150 с.
- 7. Энергетический портал. Вопросы производства, сохранения и переработки энергии. Дата обращения: 1 апреля 2022
- 8. http://www.riarealty.ru/ru/article/34636.html
- 9. https://ru.wikipedia.org/wiki/%D0%92%D0%B5%D1%82%D1%80%D0%BE%D1%8D%D0%BD%D0%B5%D1%80%D0%B3%D0%B5%D1%82%D0%B8%D0%BA%D0%B0
- 10. https://aipet.kz/